

AEエネルギーに基づいたコンクリートの引張軟化過程の考察

福島高専 ○学生員 木村 孝範
福島高専 正会員 山ノ内正司

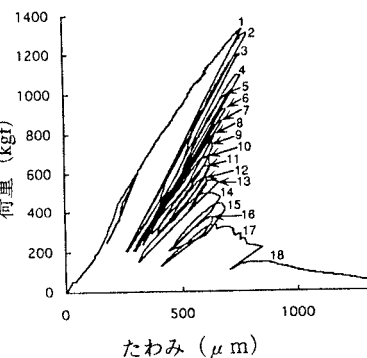
1. はじめに

コンクリートの破壊進行領域のモデル化や破壊力学パラメータの設定には、微視構造変化の累積過程を明かにすることが不可欠であると考えられる。AE手法は、破壊進行領域内で生じた個々の変化に対応した情報を検出できるため、微視構造の変化と関連づけて解明するのに適した方法である。

本研究では、8チャンネルAE計測装置を用いて、コンクリートの3点曲げ試験時の破壊進行領域のAE解析を行い、クラック別AEエネルギーに基づいて、内部構造と引張軟化過程の関係について考察した。

2. 実験概要^[1]

水セメント比30%の高強度コンクリート供試体(20cm×10cm×90cm)の中央部に幅1mm、長さ2cmのノッチを入れ、履歴載荷方式による3点曲げ試験を行い、中央点のたわみ、ノッチ部の肩開口変位(CMOD)、荷重、AE(8ch)を計測した。1~4chの検出波形については、ローカルプロセッサによって最大振幅や継続時間などのAEパラメータ抽出を行っている。図-1に荷重～たわみ曲線を示す。図中、数字は載荷サイクル数を表している。



3. AEエネルギーの定義

1事象のAEエネルギー E_{AE} を、1~4chのAEパラメータと位置標定結果に基づき、AE発生源をセンサーから垂直距離1cmの点に仮定したときの相対AEエネルギーの平均として定義した。

$$E_{AE} = \frac{1}{n} \sum (V_{max,i} \cdot R_i / Q_i / K_i)^2 \cdot T_{dur}$$

ここに、 $V_{max,i}$ はAE波形の最大振幅、 R_i はセンサー番号*i*から破壊源までの距離、 Q_i は反射係数、 K_i はセンサーの相対感度で $K_1=1$ 、 T_{dur} はAE継続時間、 n はAEをヒットしたチャンネル数を表している。

図-1 荷重～たわみ曲線

4. 結果および考察

図-2は、サイクル番号13の載荷過程で発生したAEの3次元分布とAEエネルギーの大きさを表したものである。

左図のX-Z平面の記号**b**、**m**、**a**は、それぞれ破断面のボンドクラック、モルタルクラック、骨材クラックを表している。右図の2本の実線は、破断面をY-Z平面へ投影したときの最大値と最小値をそれぞれ高さ方向に結んだものであり、全ての破断面はこの2本の実線内にあることを示している。また、円の直径は、AEエネルギーの対数に対応しており、右図の太矢印は、このサイクル終了時に確認された可視ひびわれ先端位置を表している。

YZ平面におけるAE分布図より、ほとんどのAEが最

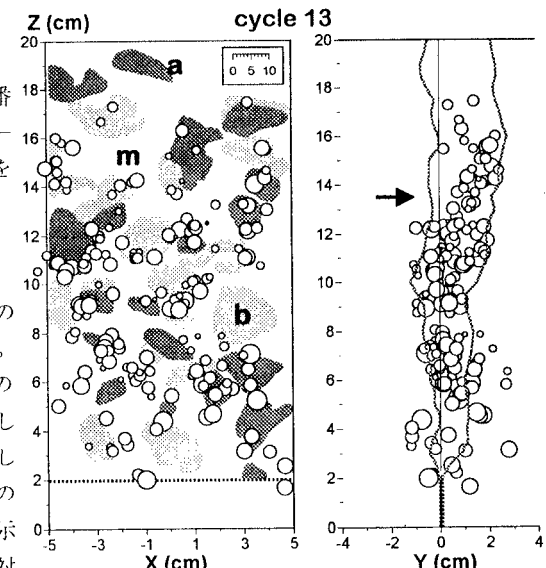


図-2 AE 3次元分布と AE エネルギー

終破断面の近傍から発生していたことが分かる。破壊進行領域先端部のマイクロクラッキングゾーンでは、AE発生位置はボンド部と骨材周辺のモルタル部に集中する傾向にある。逆に、高さ6cm付近の可視ひびわれ領域では、モルタルや骨材自身の割れによる高エネルギーのAEが多発しており、骨材のブリッジング機構が作用していることを表している。この領域では骨材の割れに対応した局部的なAEの発生が16サイクルまで続き、その後完全な空白域となった。

このような引張軟化過程と内部構造との関係を考察するために、クラック別の単位面積あたりの累積AEエネルギーの変化を高さ一定領域(幅2cm)ごとにまとめたものが図-3である。AE発生源の同定は、破断面を5mmメッシュに区切り、クラックの種類をデジタル化することによって行っている。図中の記号a/m、m/b、a/bは、例えば、a/mは、骨材クラックとモルタルクラックが混在した要素であることを意味している。

上段($Z_c=15\text{cm}$)と中段($Z_c=6\text{cm}$)の図から、引張軟化初期においては、ボンド部やモルタル部の微小破壊が卓越し、その後、このAEエネルギーが漸増する傾向を示すのに対して、骨材の割れに関係したAEは数サイクル遅れて活性化し、その後は段階的な急増傾向を示す。また、中段($Z_c=6\text{cm}$)と下段($Z_c=2\text{cm}$)の図から、ボンド部のエネルギー解放は、モルタルや骨材と比べていち早く終了していること、及びクラック別最終累積AEエネルギー比は、おおむね、

ボンド:モルタル:骨材 = (1~5):(10~50):(100~500)
の関係にあることが分かった。

以上より、引張軟化過程におけるクラック別AEエネルギーの発生過程は、図-4のように表すことができるものと考えられる。

5.まとめ

コンクリートの破壊進行領域のAE解析の結果、次のことが明らかになった。

- (1)引張軟化初期においてはボンド部と骨材周辺のモルタル部のマイクロクラッキングが卓越し、軟化後期では骨材のブリッジング機構が支配的である。
 - (2)引張軟化過程の進行に伴うボンド部やモルタル部のAEエネルギーが漸増傾向を示すのに対して、骨材の割れに関係したAEエネルギーは段階的な急増傾向を示す。
 - (3)クラック別最終累積AEエネルギー比は、ボンド:モルタル:骨材 = (1~5):(10~50):(100~500)である。
- 累積AEエネルギーとCMODの関係は引張軟化則に対応したものであるから、今後、累積AEエネルギーによる引張軟化則の推定方法を検討したいと考えている。

参考文献

- [1] 太田裕晴、山内正司：コンクリート破壊進行領域の3次元AE解析、平成8年度土木学会東北支部技術研究発表講演概要,pp.558-589,1997

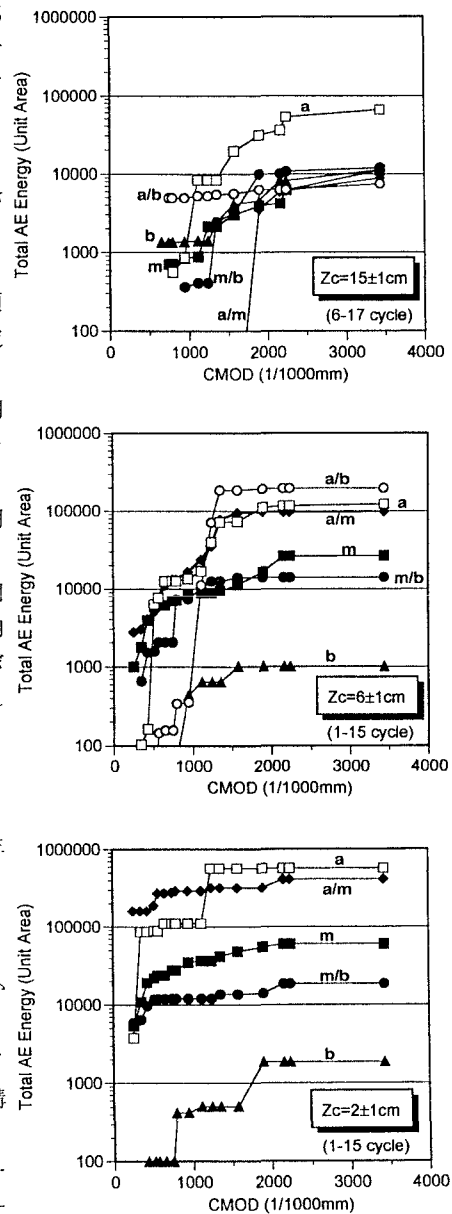


図-3 クラック別AEエネルギー

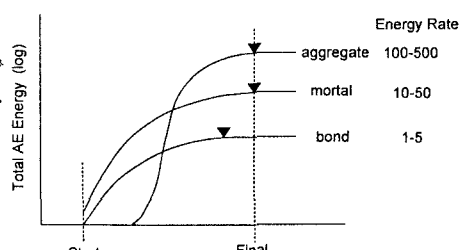


図-4 AEエネルギー発生過程の概念図